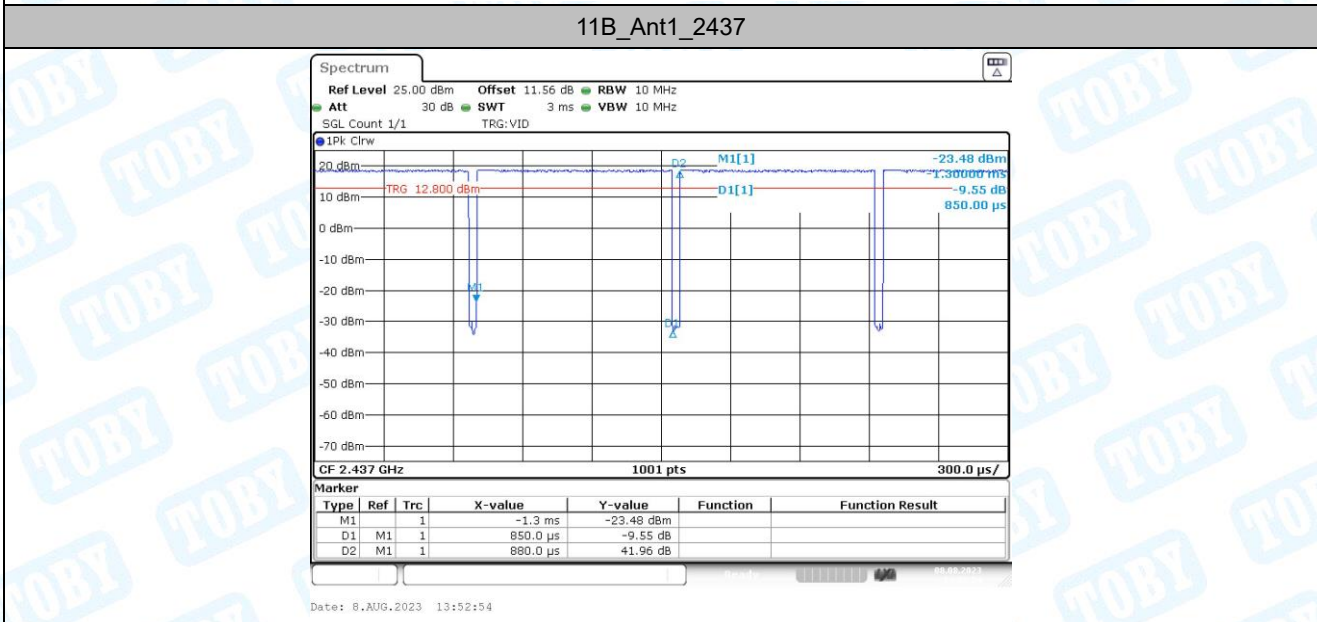
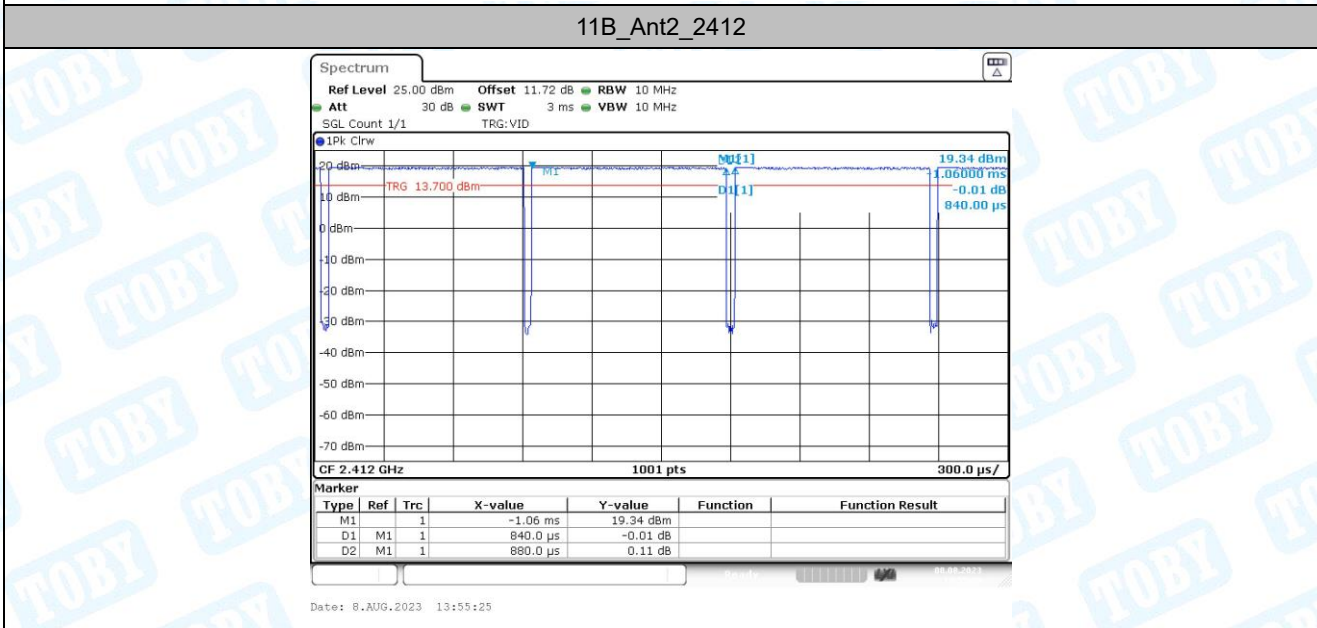
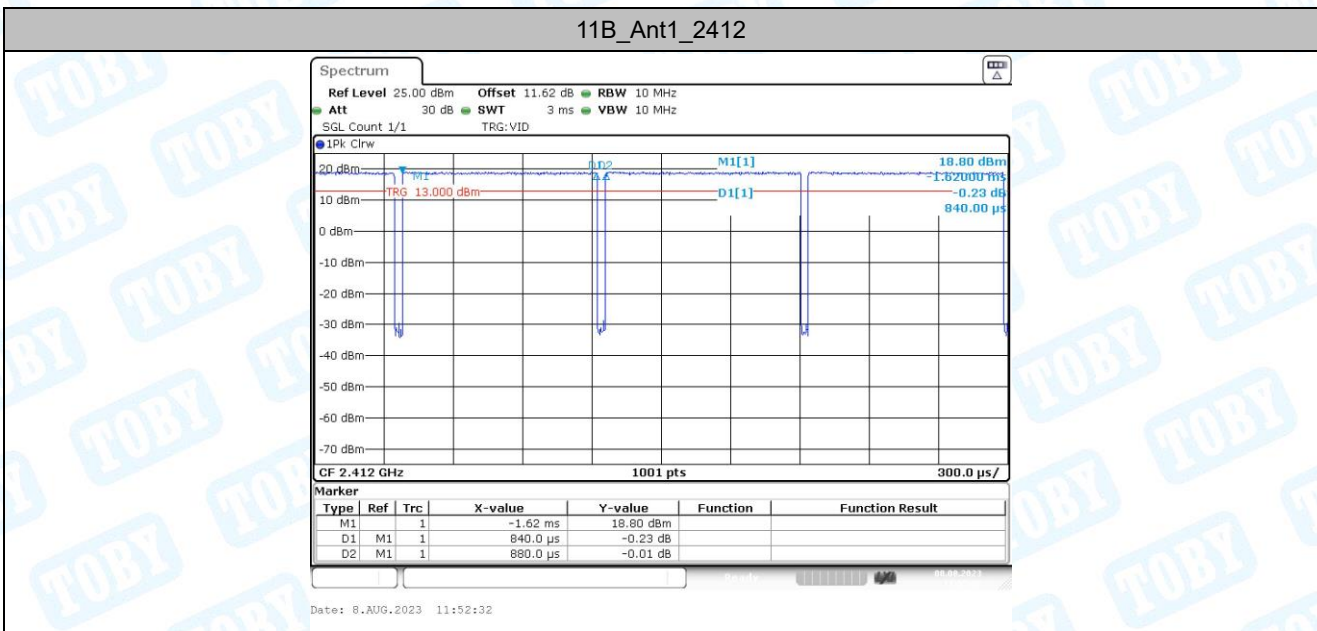
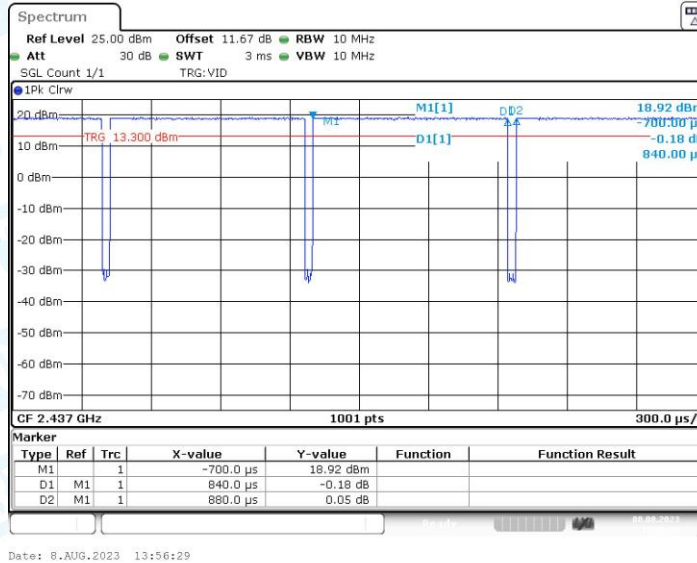


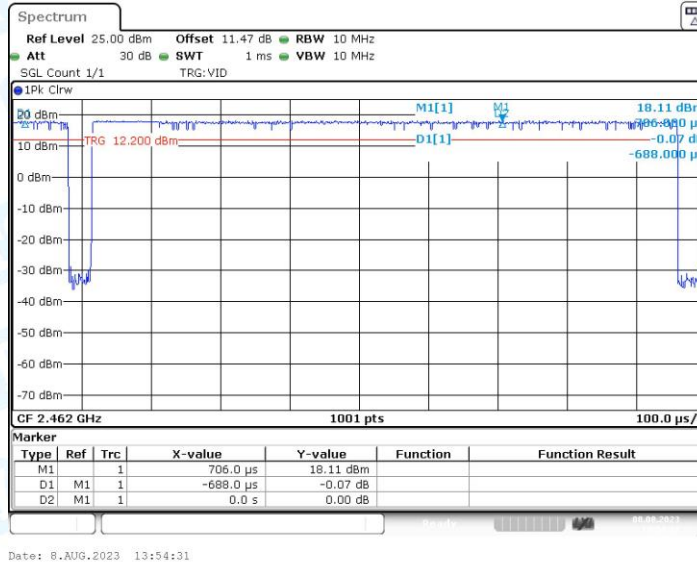
7.2. Test Graphs



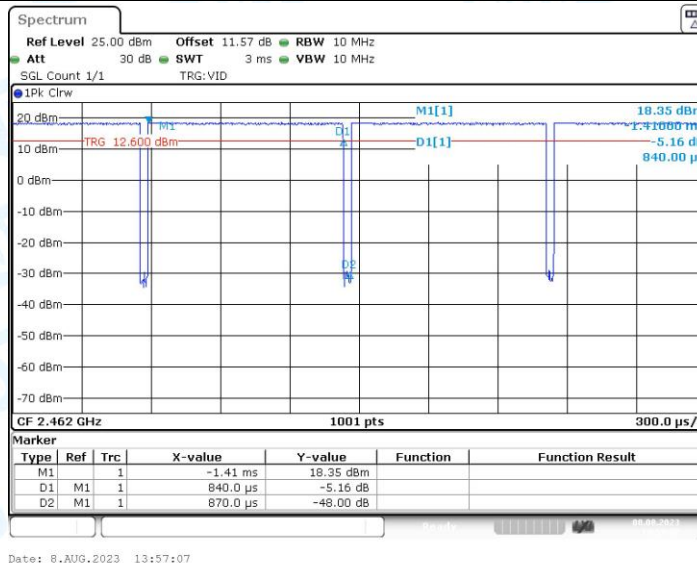
11B_Ant2_2437



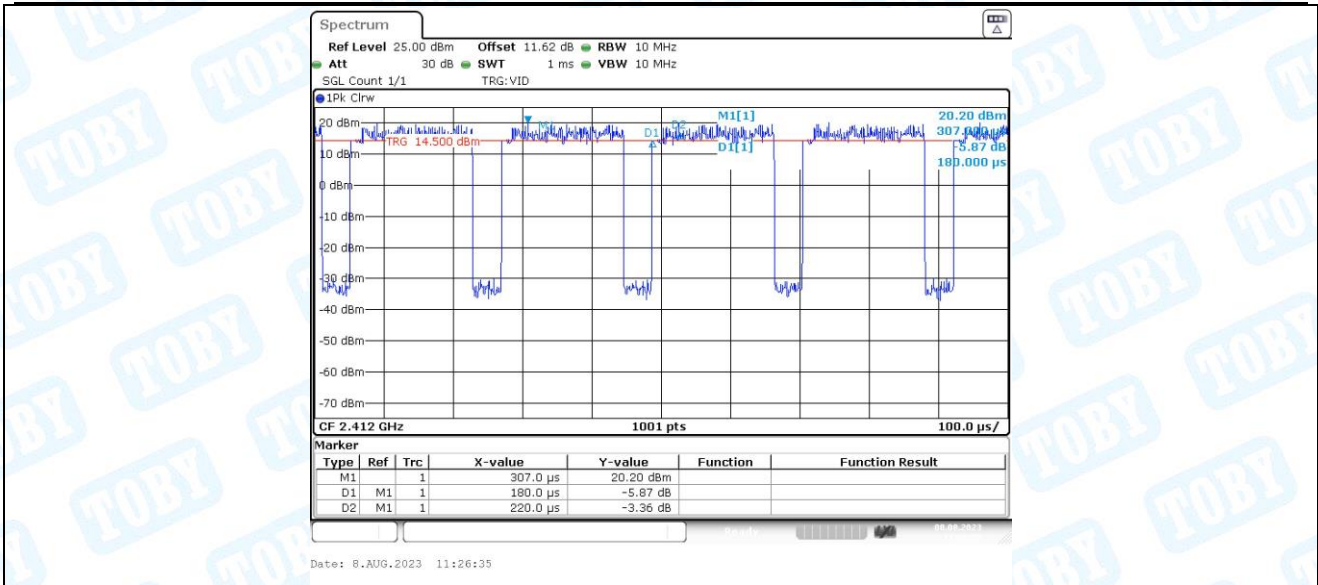
11B_Ant1_2462



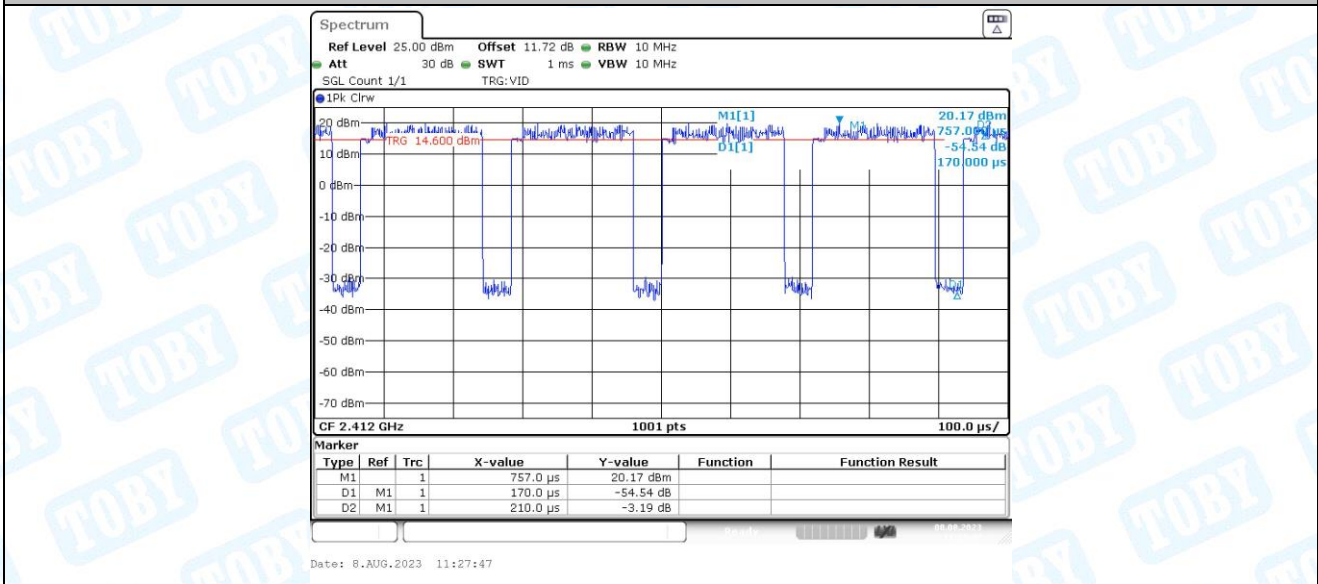
11B_Ant2_2462



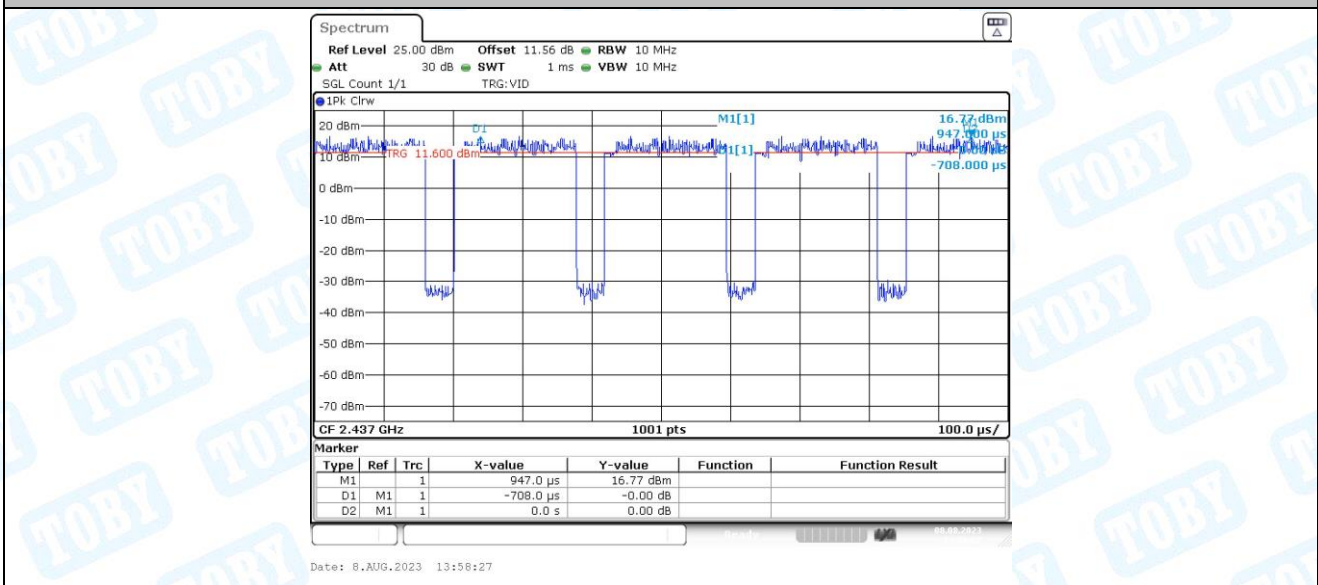
11G-CDD_Ant1_2412



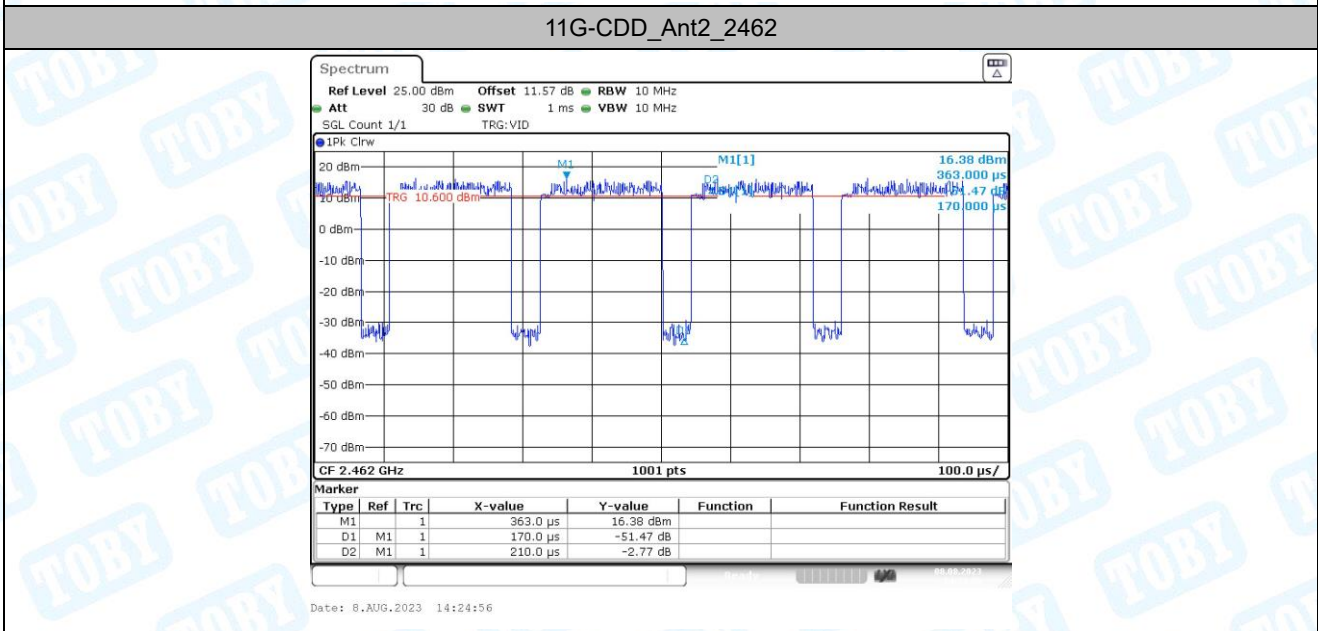
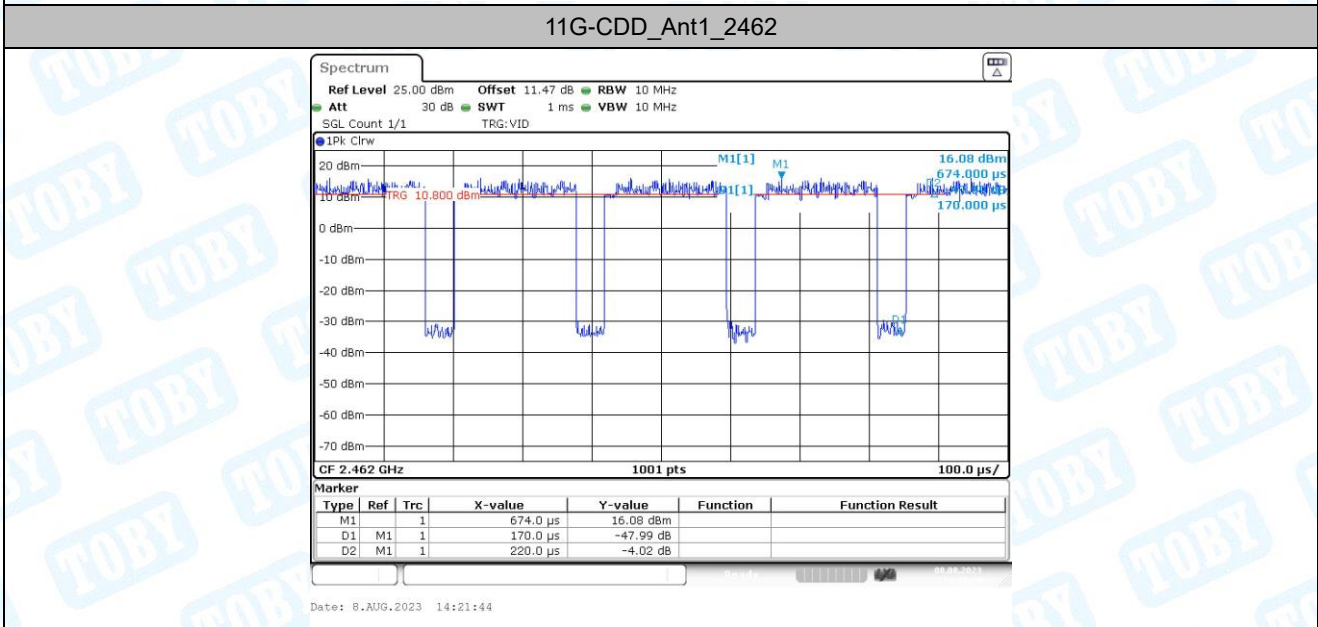
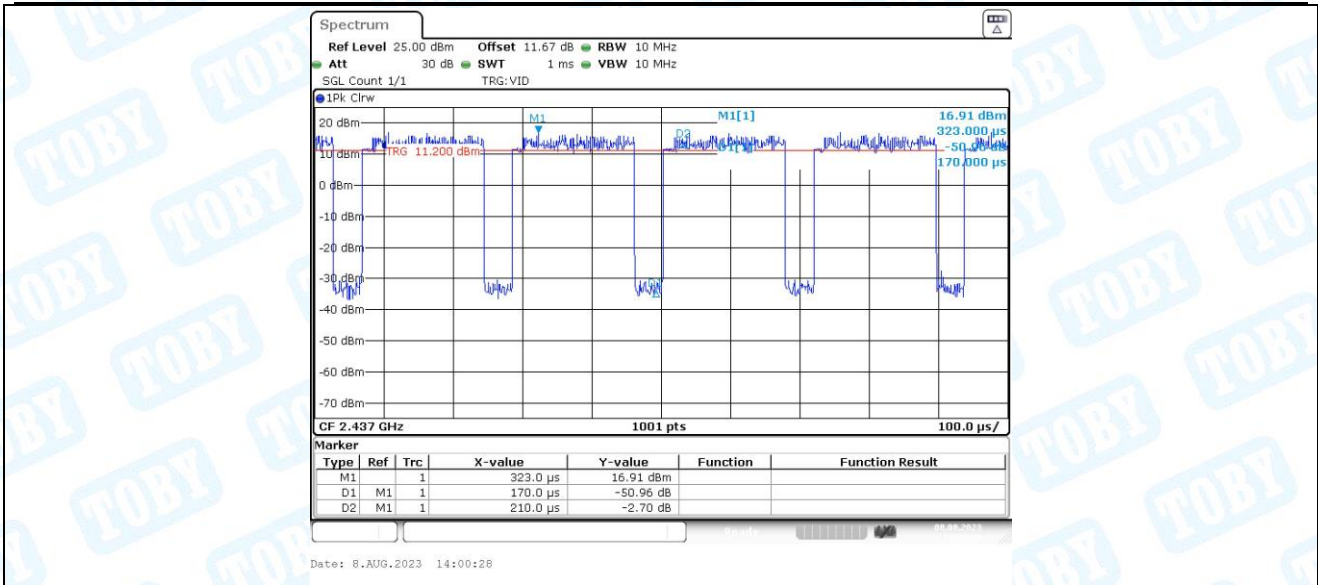
11G-CDD_Ant2_2412

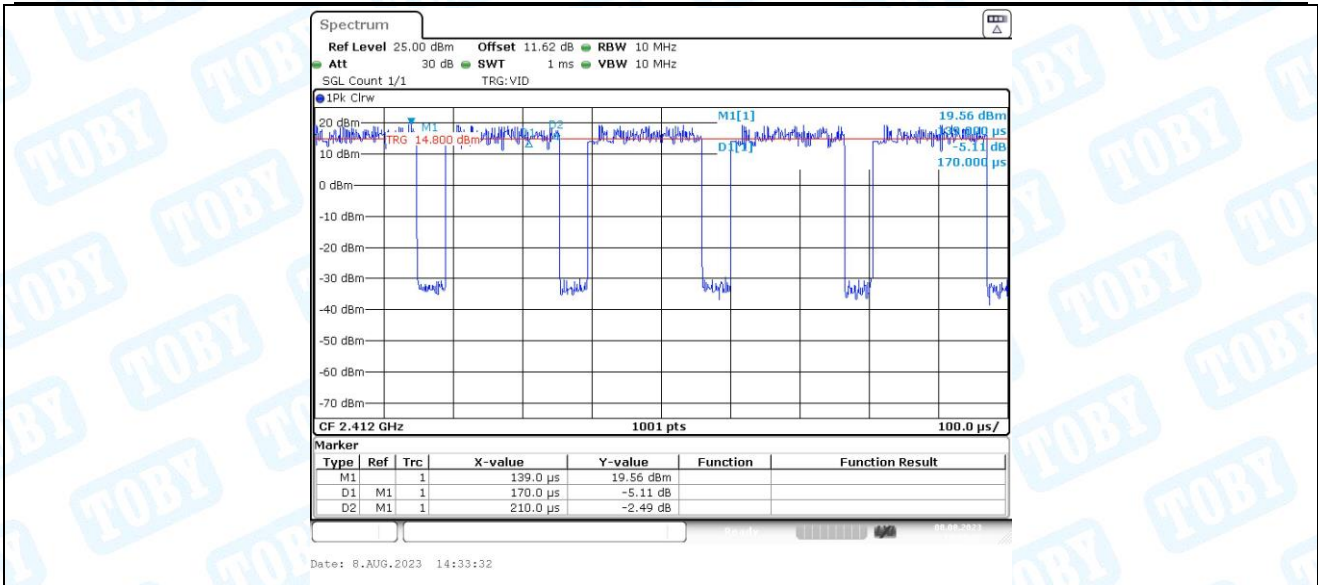


11G-CDD_Ant1_2437

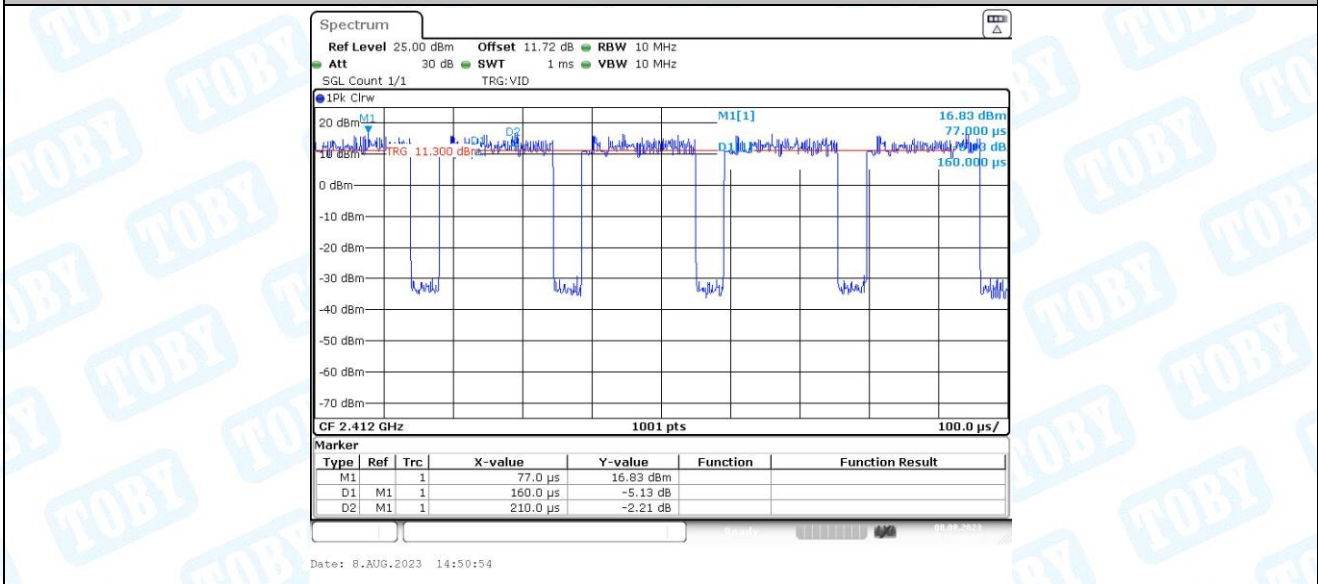


11G-CDD_Ant2_2437

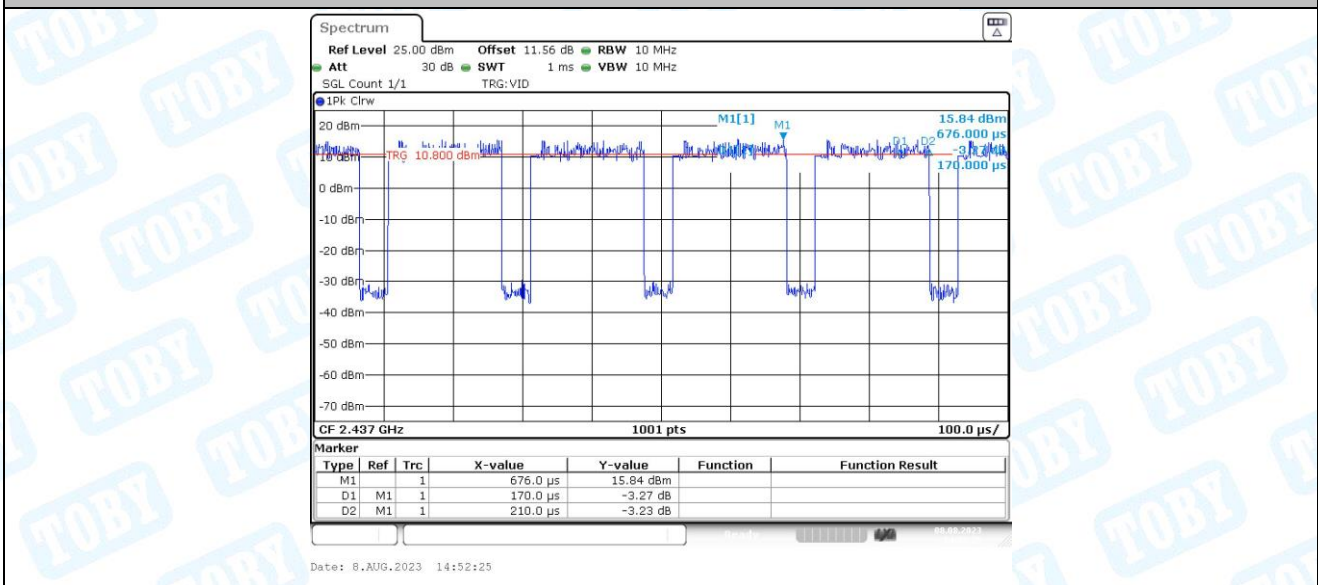




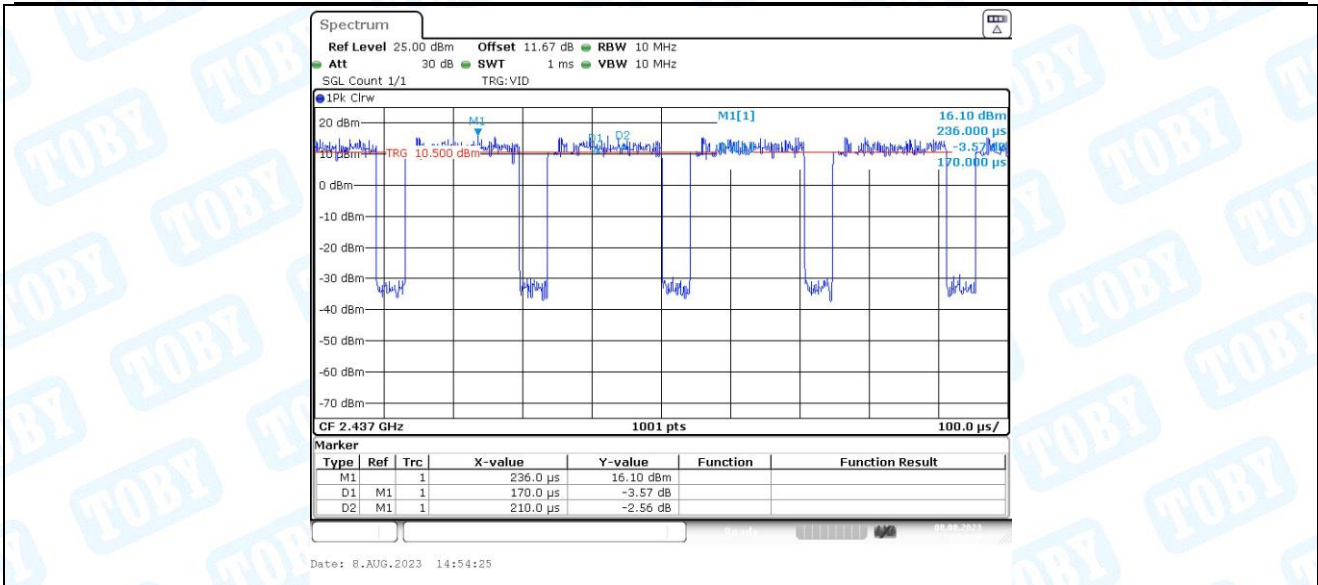
11N20MIMO_Ant2_2412



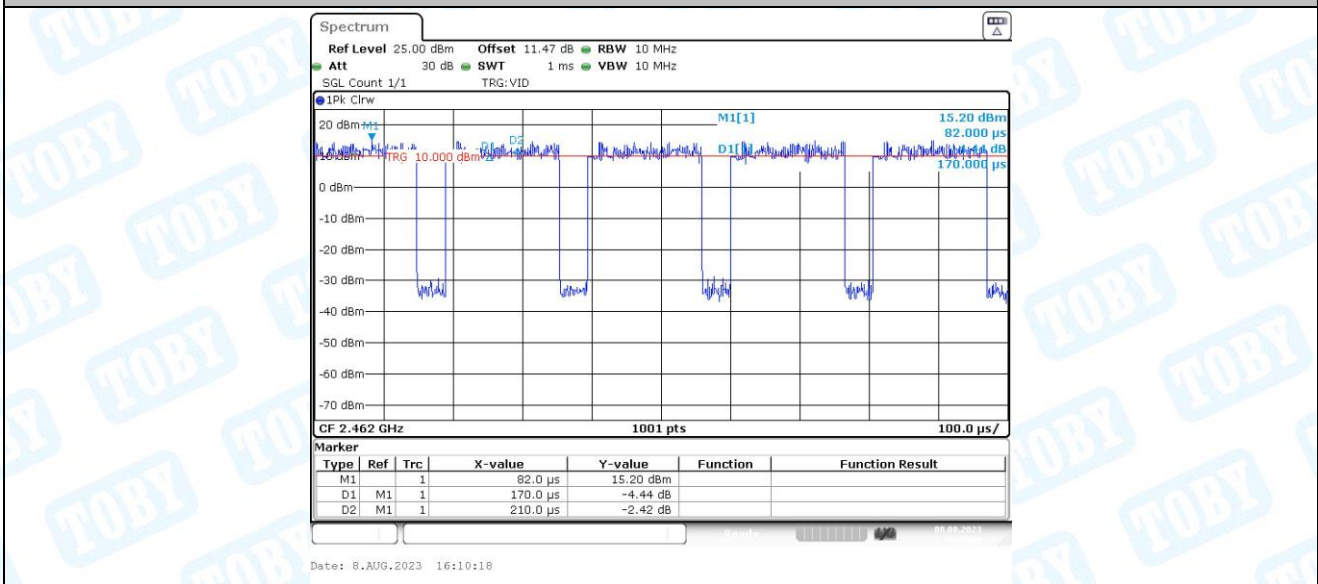
11N20MIMO_Ant1_2437



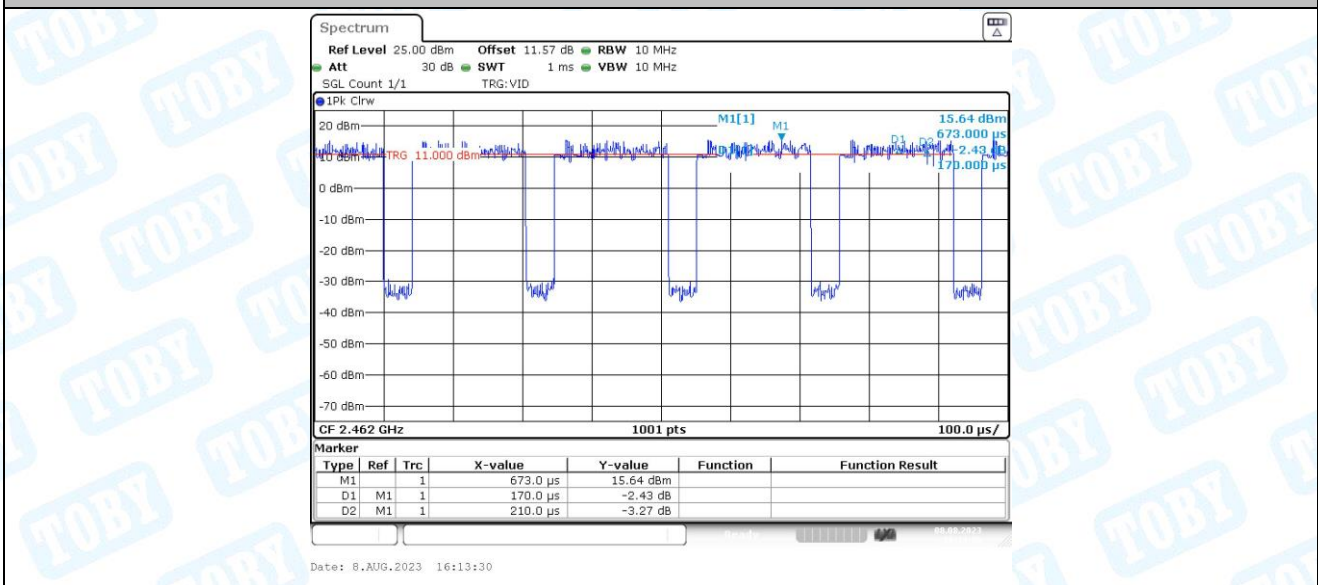
11N20MIMO_Ant2_2437



11N20MIMO_Ant1_2462



11N20MIMO_Ant2_2462



8. Emissions in Restricted Bands

8.1. Test Result

TestMode	Antenna	ChName	Channel	Detector	Freq [MHz]	Result [dBm]	Limit [dBm]	Verdict
11B	Ant1	Low	2412	AV	2310.000	-48.01	≤-41.20	PASS
				AV	2387.232	-43.1	≤-41.20	PASS
				AV	2390.000	-43.43	≤-41.20	PASS
				Peak	2310.000	-36.84	≤-21.20	PASS
				Peak	2388.551	-32.83	≤-21.20	PASS
				Peak	2390.000	-33.14	≤-21.20	PASS
	Ant2	Low	2412	AV	2310.000	-47.81	≤-41.20	PASS
				AV	2386.855	-42.81	≤-41.20	PASS
				AV	2390.000	-42.51	≤-41.20	PASS
				Peak	2310.000	-37.74	≤-21.20	PASS
				Peak	2386.290	-32.99	≤-21.20	PASS
				Peak	2390.000	-32.99	≤-21.20	PASS
	Ant1	High	2462	AV	2483.500	-43.78	≤-41.20	PASS
				AV	2483.522	-43.78	≤-41.20	PASS
				AV	2500.000	-46.94	≤-41.20	PASS
				Peak	2483.500	-34.55	≤-21.20	PASS
				Peak	2485.594	-34.14	≤-21.20	PASS
				Peak	2500.000	-36.28	≤-21.20	PASS
	Ant2	High	2462	AV	2483.500	-42.79	≤-41.20	PASS
				AV	2483.522	-42.79	≤-41.20	PASS
				AV	2500.000	-46.58	≤-41.20	PASS
				Peak	2483.500	-33.15	≤-21.20	PASS
				Peak	2483.522	-33.15	≤-21.20	PASS
				Peak	2500.000	-36.41	≤-21.20	PASS
11G-CDD	Ant1	Low	2412	AV	2310.000	-60.03	≤-41.20	PASS
				AV	2389.870	-44.38	≤-41.20	PASS
				AV	2390.000	-43.44	≤-41.20	PASS
				Peak	2310.000	-50.84	≤-21.20	PASS
				Peak	2389.870	-27.78	≤-21.20	PASS
				Peak	2390.000	-27.75	≤-21.20	PASS
	Ant2	Low	2412	AV	2310.000	-59.36	≤-41.20	PASS
				AV	2389.870	-45.92	≤-41.20	PASS
				AV	2390.000	-45.27	≤-41.20	PASS
				Peak	2310.000	-51.5	≤-21.20	PASS
				Peak	2389.870	-32.77	≤-21.20	PASS
				Peak	2390.000	-32.56	≤-21.20	PASS
	total	Low	2412	AV	2310.000	-56.67	≤-41.20	PASS
				AV	2389.870	-42.07	≤-41.20	PASS
				AV	2390.000	-41.25	≤-41.20	PASS
				Peak	2310.000	-48.15	≤-21.20	PASS

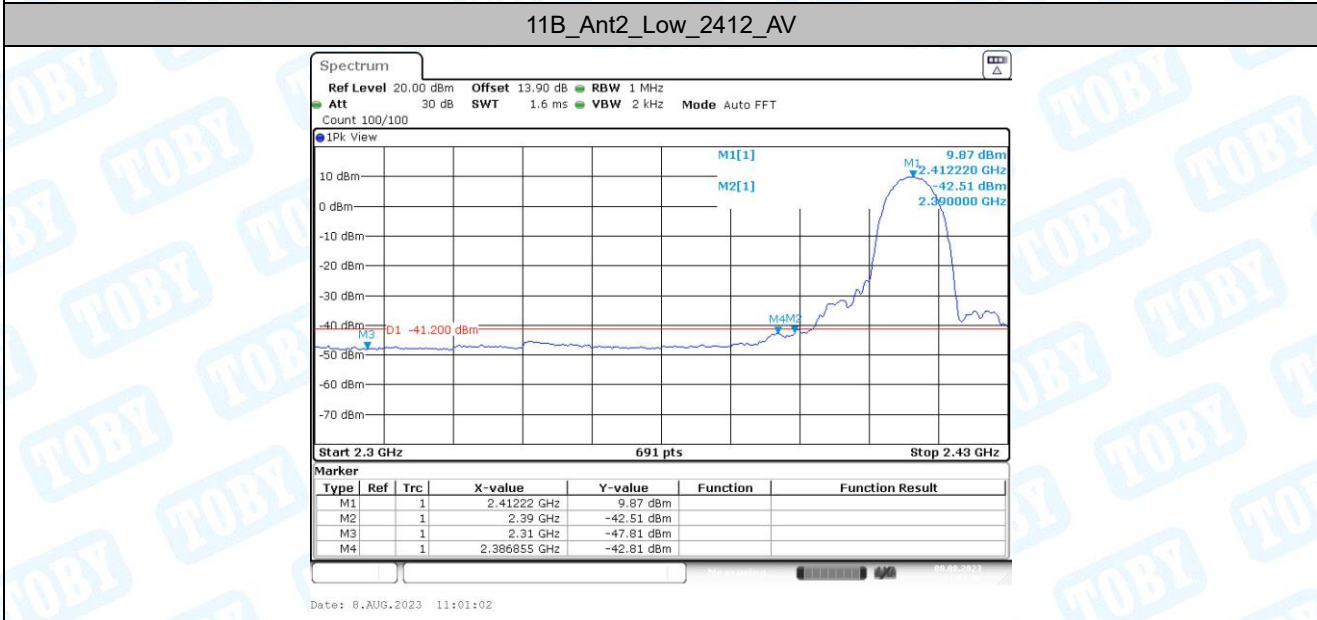
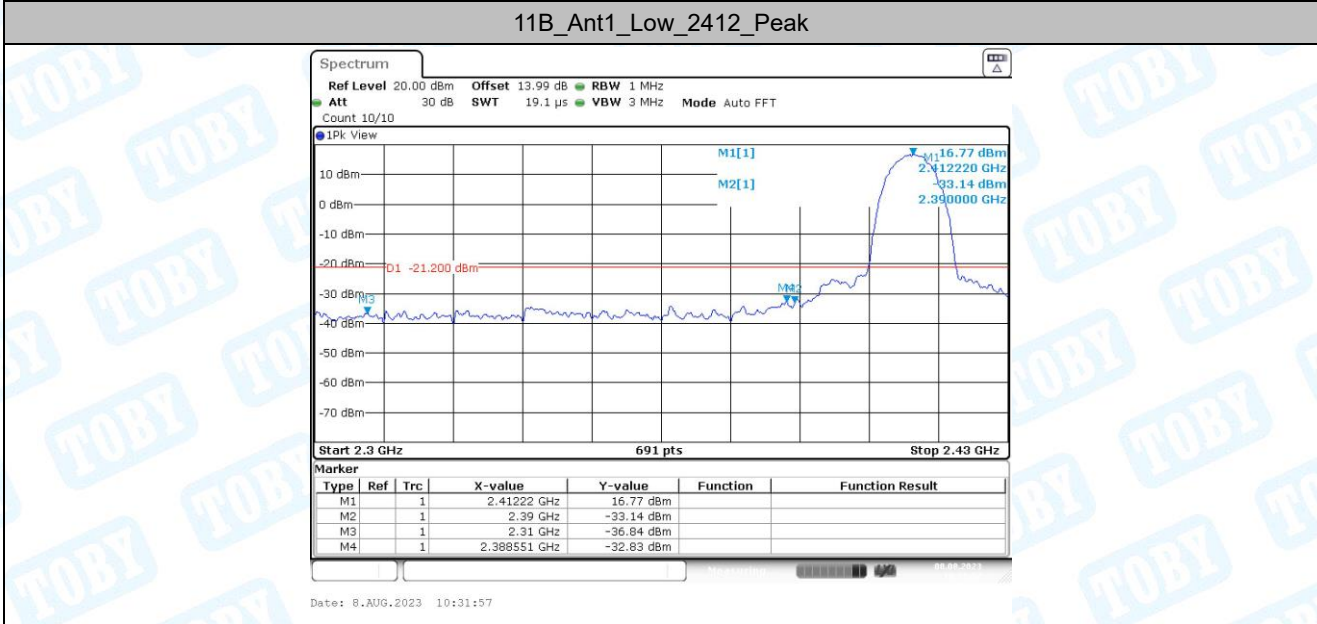
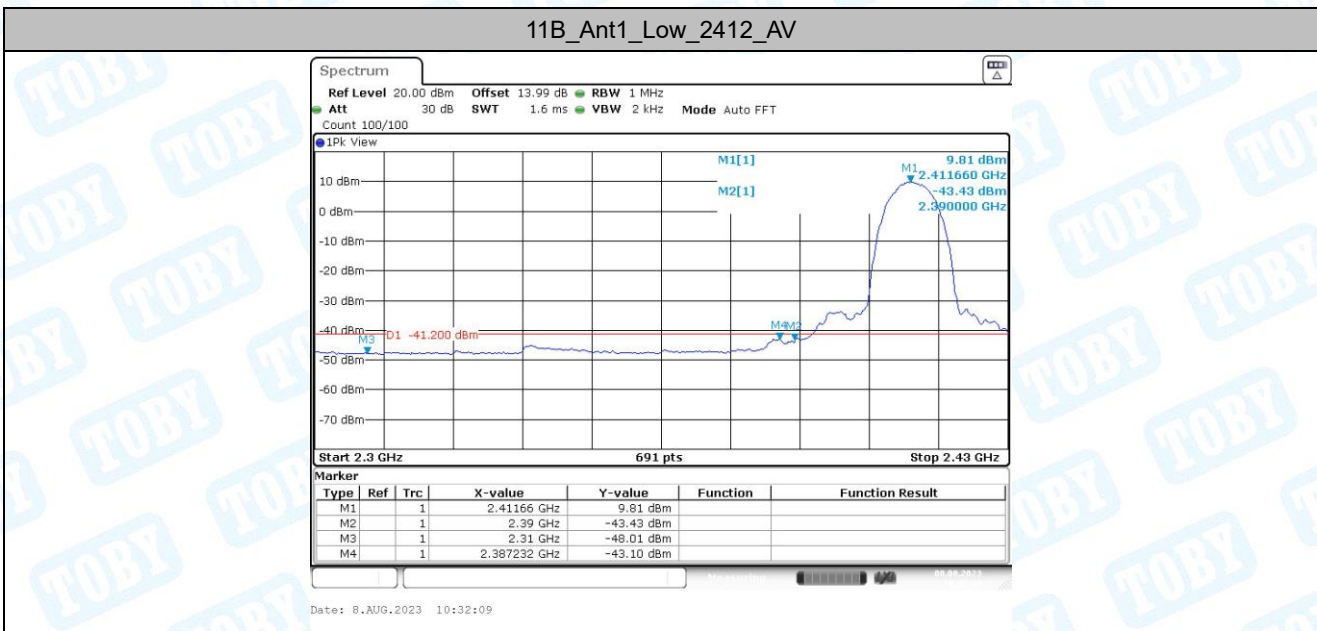
11N20MIM O	Ant1	High	2462	Peak	2389.870	-26.58	≤-21.20	PASS
				Peak	2390.000	-26.51	≤-21.20	PASS
				AV	2483.500	-44.42	≤-41.20	PASS
				AV	2497.232	-44.33	≤-41.20	PASS
				AV	2500.000	-45.55	≤-41.20	PASS
				Peak	2483.500	-34.36	≤-21.20	PASS
				Peak	2483.681	-34.29	≤-21.20	PASS
	Ant2	High	2462	AV	2483.500	-44.62	≤-41.20	PASS
				AV	2484.319	-44.35	≤-41.20	PASS
				AV	2500.000	-45.42	≤-41.20	PASS
				Peak	2483.500	-34.1	≤-21.20	PASS
				Peak	2483.522	-34.1	≤-21.20	PASS
	total	High	2462	Peak	2500.000	-36.59	≤-21.20	PASS
				AV	2483.500	-41.51	≤-41.20	PASS
				AV	2484.319	-41.33	≤-41.20	PASS
				AV	2500.000	-42.47	≤-41.20	PASS
				Peak	2483.500	-31.22	≤-21.20	PASS
				Peak	2483.522	-31.18	≤-21.20	PASS
	Ant1	Low	2412	Peak	2500.000	-33.40	≤-21.20	PASS
				AV	2483.500	-56.51	≤-41.20	PASS
				AV	2389.870	-44.97	≤-41.20	PASS
AV				2390.000	-44.87	≤-41.20	PASS	
Peak				2310.000	-47.65	≤-21.20	PASS	
Peak				2389.870	-32.14	≤-21.20	PASS	
Ant2		Low	2412	Peak	2390.000	-31.9	≤-21.20	PASS
				AV	2310.000	-56.79	≤-41.20	PASS
				AV	2389.493	-45.74	≤-41.20	PASS
				AV	2390.000	-44.92	≤-41.20	PASS
				Peak	2310.000	-48.28	≤-21.20	PASS
				Peak	2389.681	-31.48	≤-21.20	PASS
total	Low	2412	Peak	2390.000	-31.86	≤-21.20	PASS	
			AV	2310.000	-53.64	≤-41.20	PASS	
			AV	2389.493	-42.33	≤-41.20	PASS	
			AV	2390.000	-41.88	≤-41.20	PASS	
			Peak	2310.000	-44.94	≤-21.20	PASS	
			Peak	2389.681	-28.79	≤-21.20	PASS	
Ant1	High	2462	Peak	2390.000	-28.87	≤-21.20	PASS	
			AV	2483.500	-49.68	≤-41.20	PASS	
			AV	2484.000	-49.67	≤-41.20	PASS	
			AV	2500.000	-52.92	≤-41.20	PASS	
			Peak	2483.500	-39.94	≤-21.20	PASS	
			Peak	2484.478	-39.17	≤-21.20	PASS	
Ant2	High	2462	AV	2500.000	-41.52	≤-21.20	PASS	
Ant2	High	2462	AV	2483.500	-49.54	≤-41.20	PASS	

			AV	2483.522	-49.54	≤-41.20	PASS	
			AV	2500.000	-52.29	≤-41.20	PASS	
			Peak	2483.500	-39.45	≤-21.20	PASS	
			Peak	2484.000	-39.01	≤-21.20	PASS	
			Peak	2500.000	-43.88	≤-21.20	PASS	
	total	High	2462	AV	2483.500	-46.60	≤-41.20	PASS
AV				2483.522	-46.59	≤-41.20	PASS	
AV				2500.000	-49.58	≤-41.20	PASS	
Peak				2483.500	-36.68	≤-21.20	PASS	
Peak				2484.000	-36.08	≤-21.20	PASS	
Peak				2500.000	-39.53	≤-21.20	PASS	

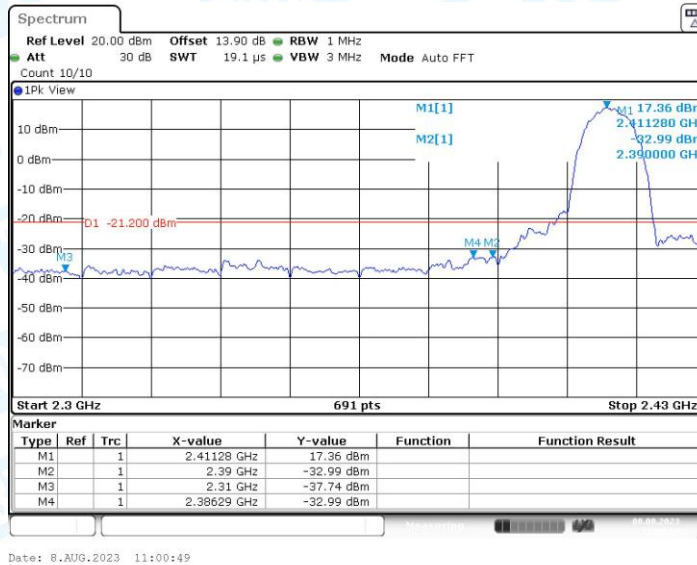
Note:

1. The Antenna Gain is compensated in the graph.
2. The limit in dBm for average detector is conversion from 54dBuV/m, according to 15.209(a). The limit in dBm for peak detector is 20dB above the limit of average detector in dBm.

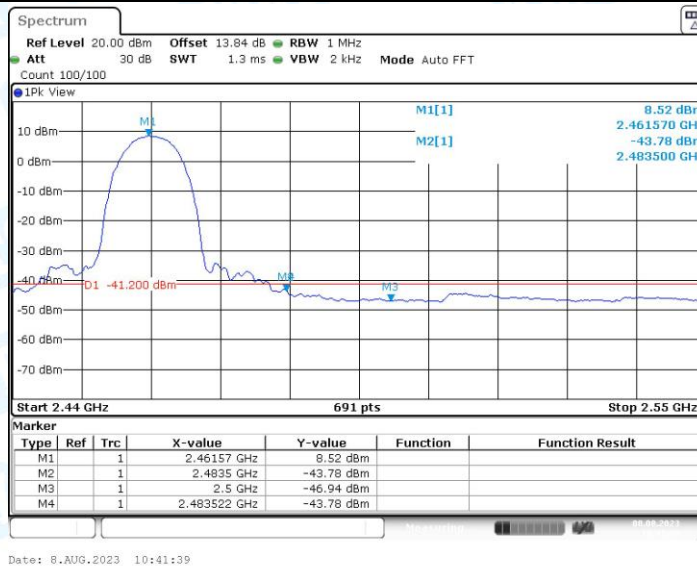
8.2. Test Graphs



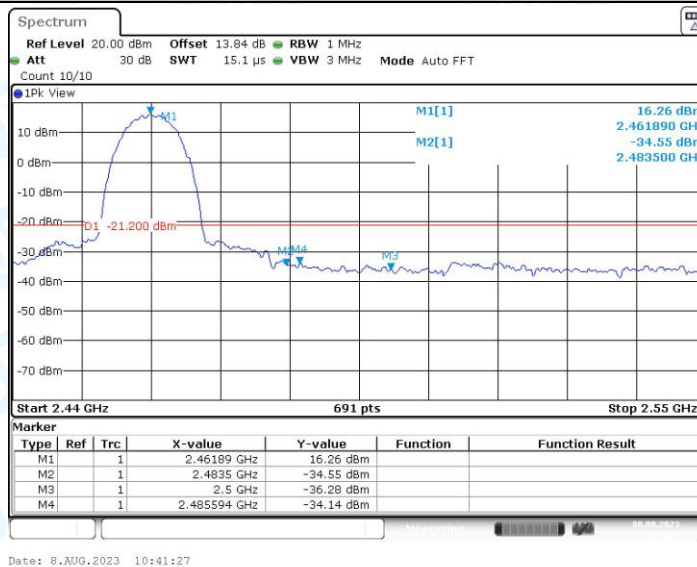
11B_Ant2_Low_2412_Peak



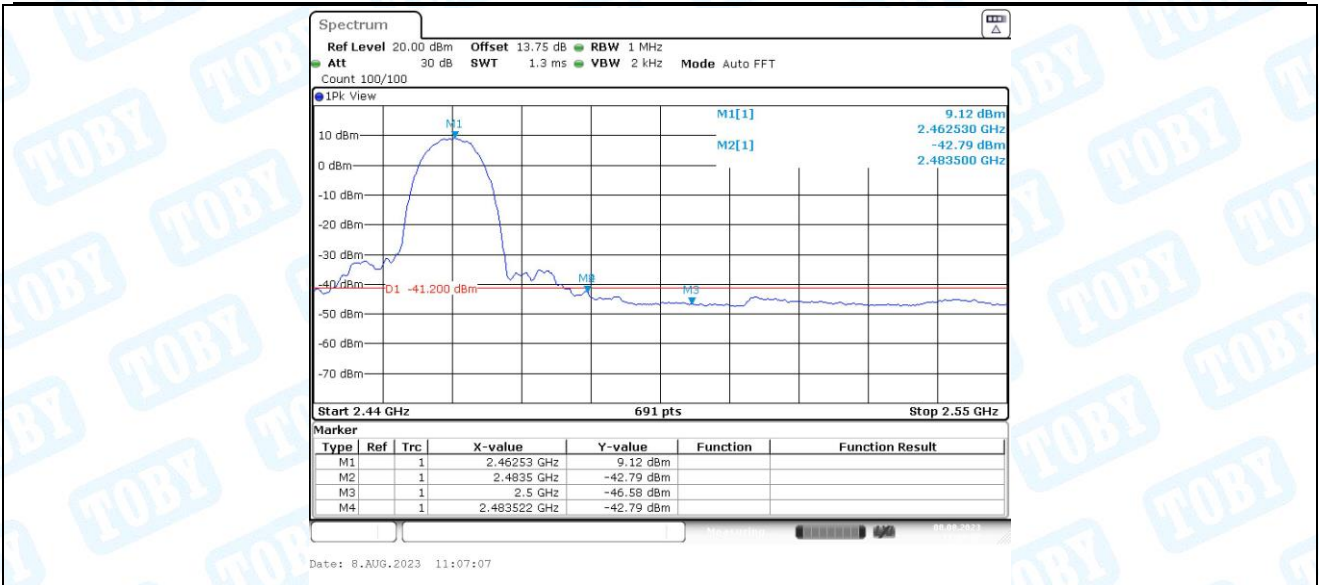
11B_Ant1_High_2462_AV



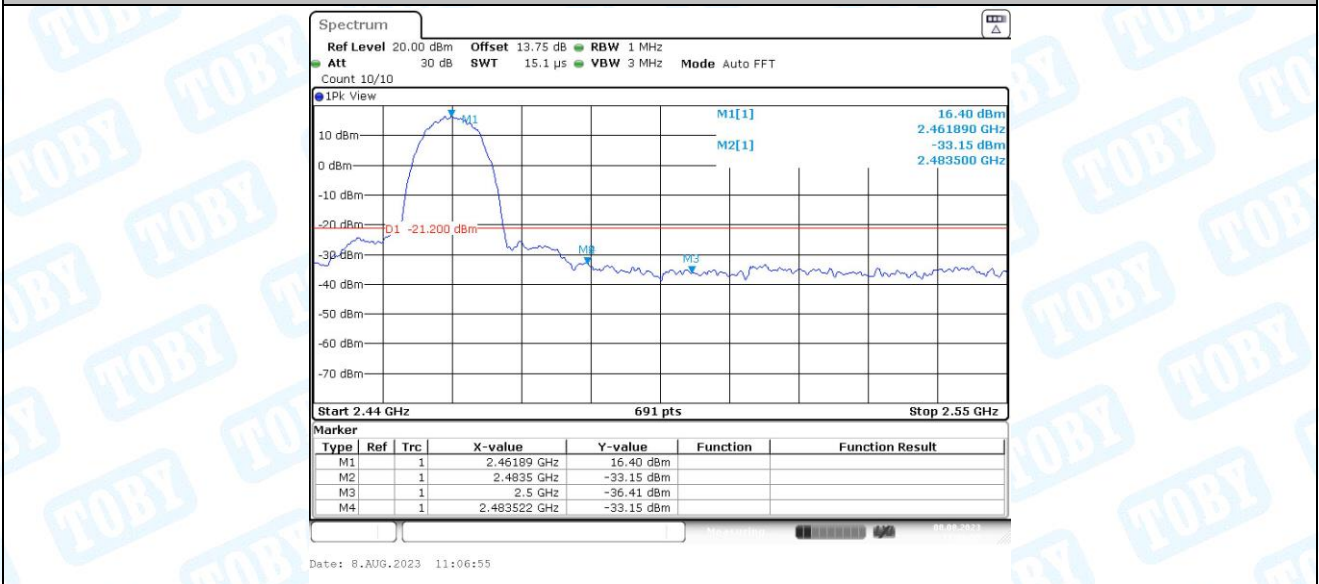
11B_Ant1_High_2462_Peak



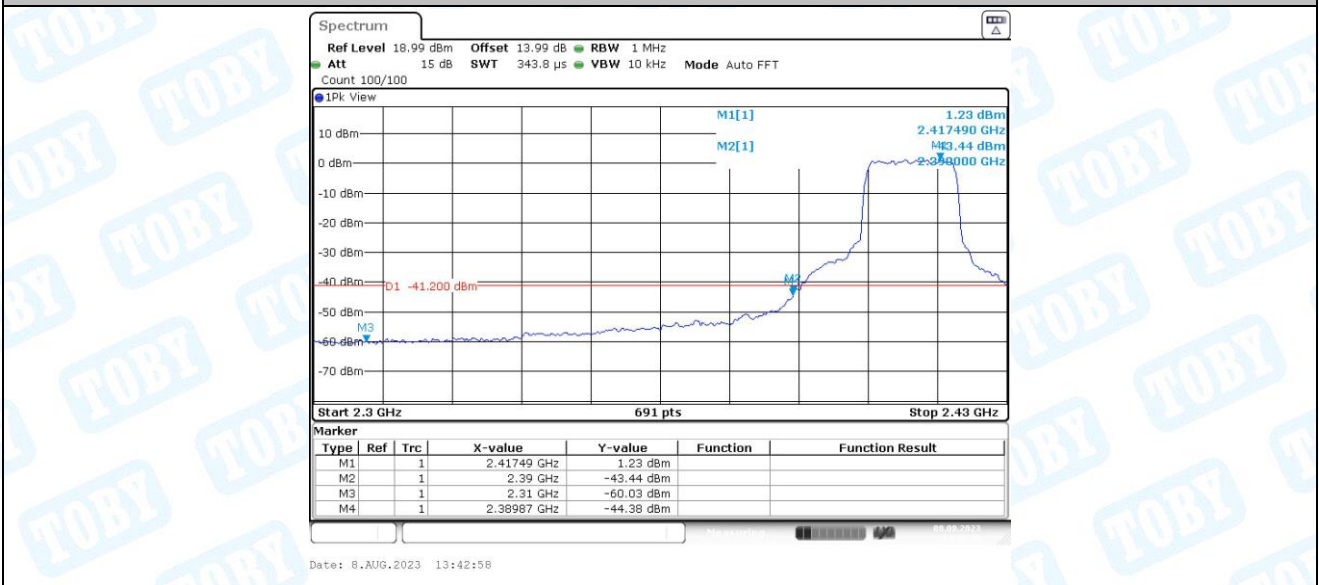
11B_Ant2_High_2462_AV



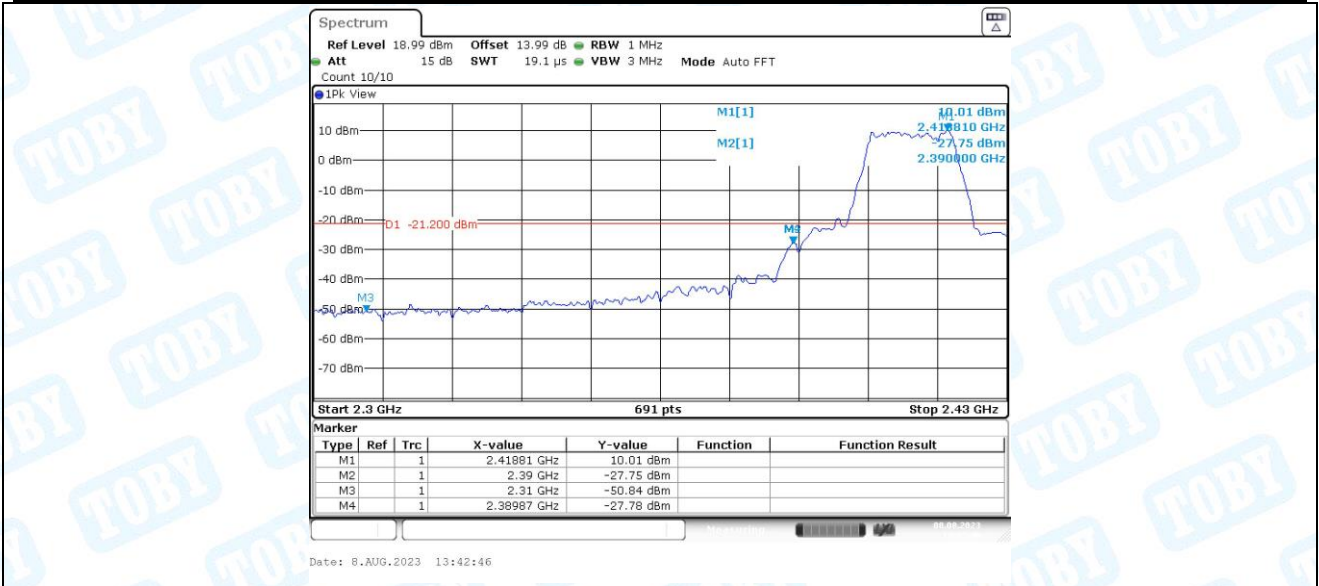
11B_Ant2_High_2462_Peak



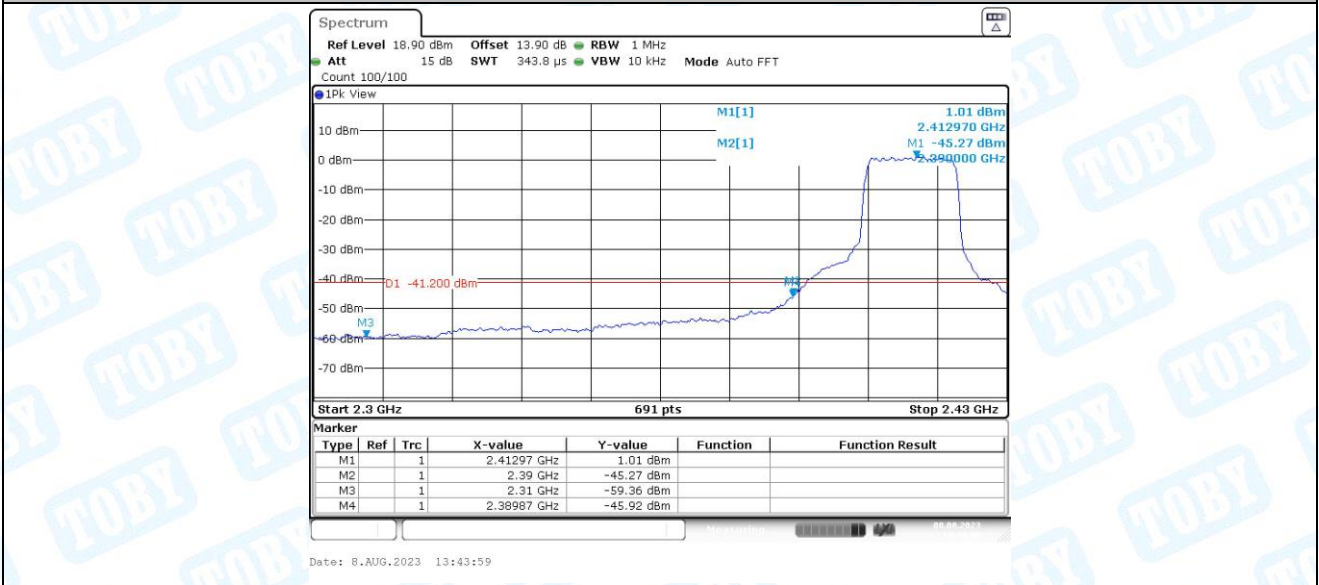
11G-CDD_Ant1_Low_2412_AV



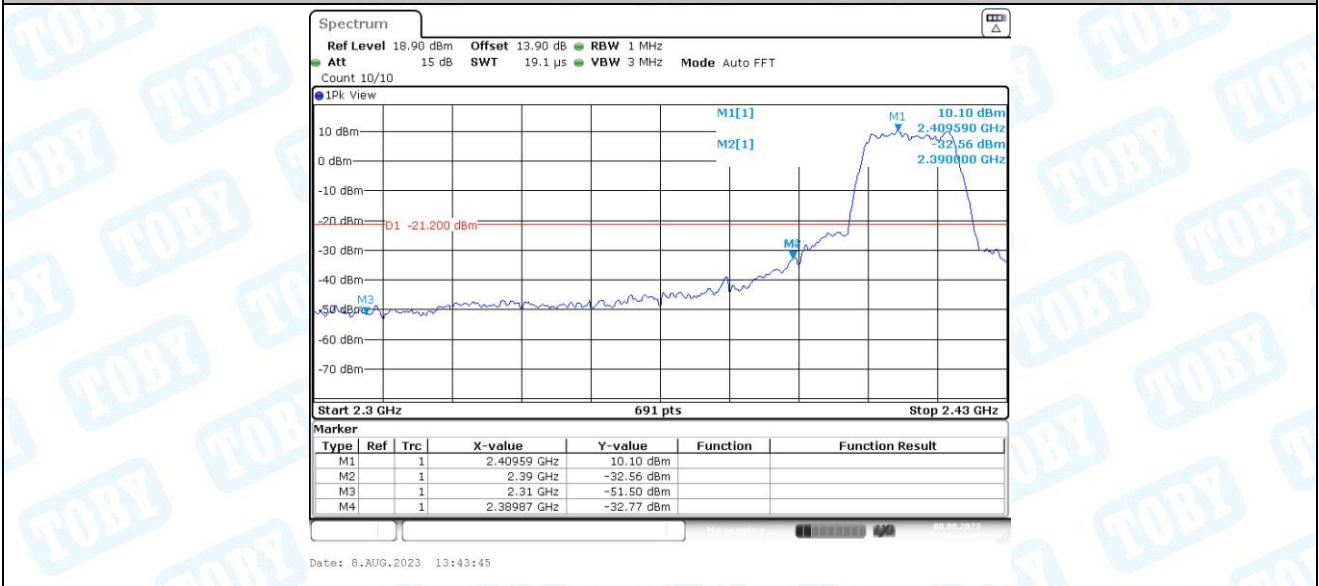
11G-CDD_Ant1_Low_2412_Peak



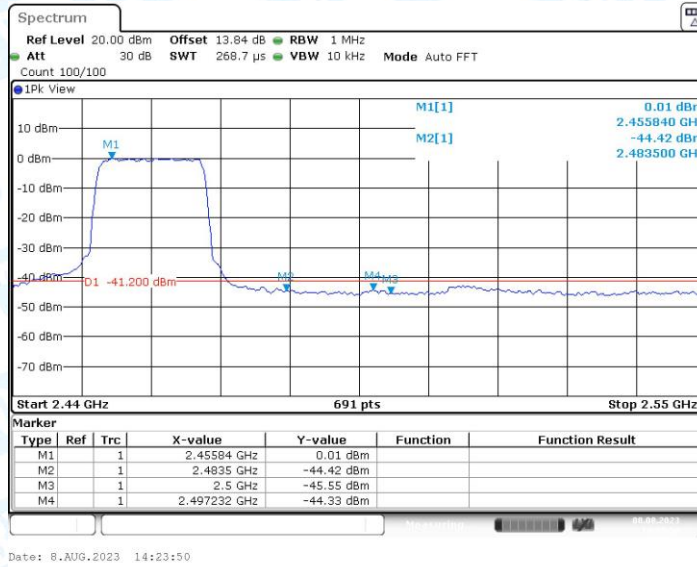
11G-CDD_Ant2_Low_2412_AV



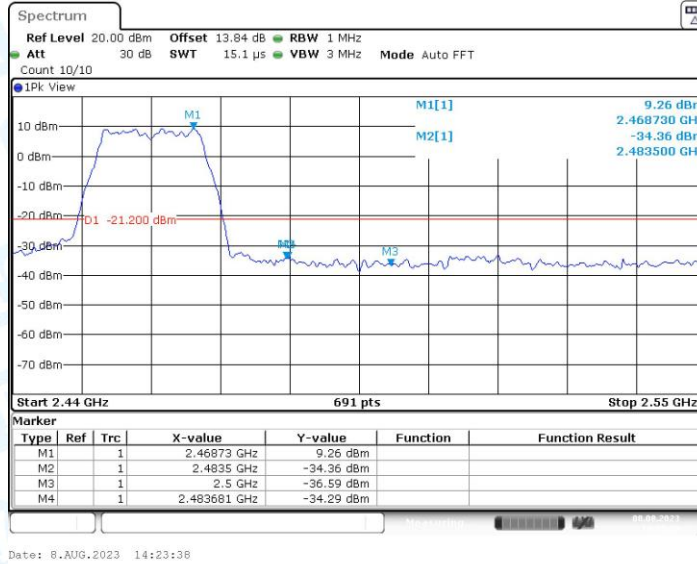
11G-CDD_Ant2_Low_2412_Peak



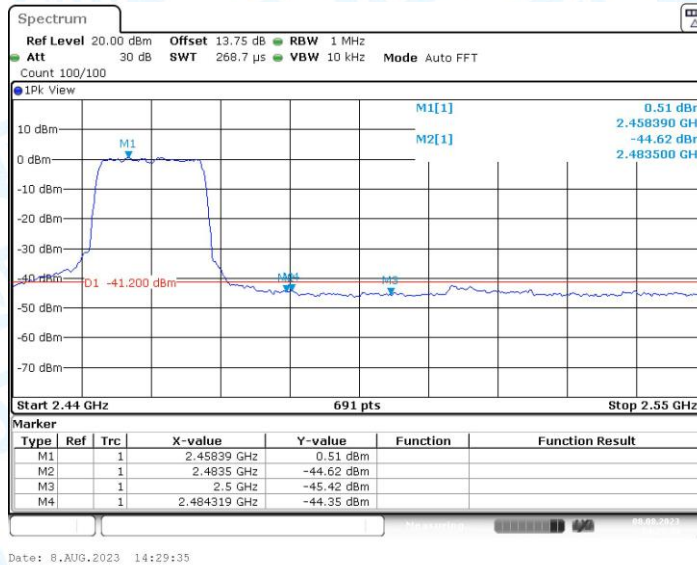
11G-CDD_Ant1_High_2462_AV



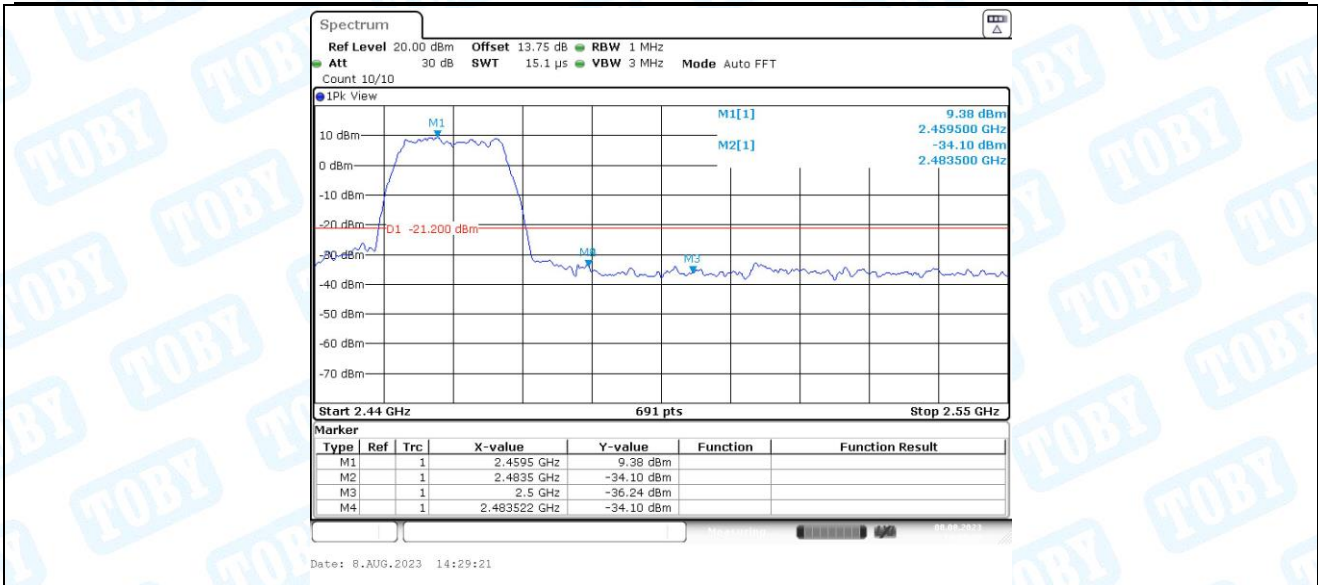
11G-CDD_Ant1_High_2462_Peak



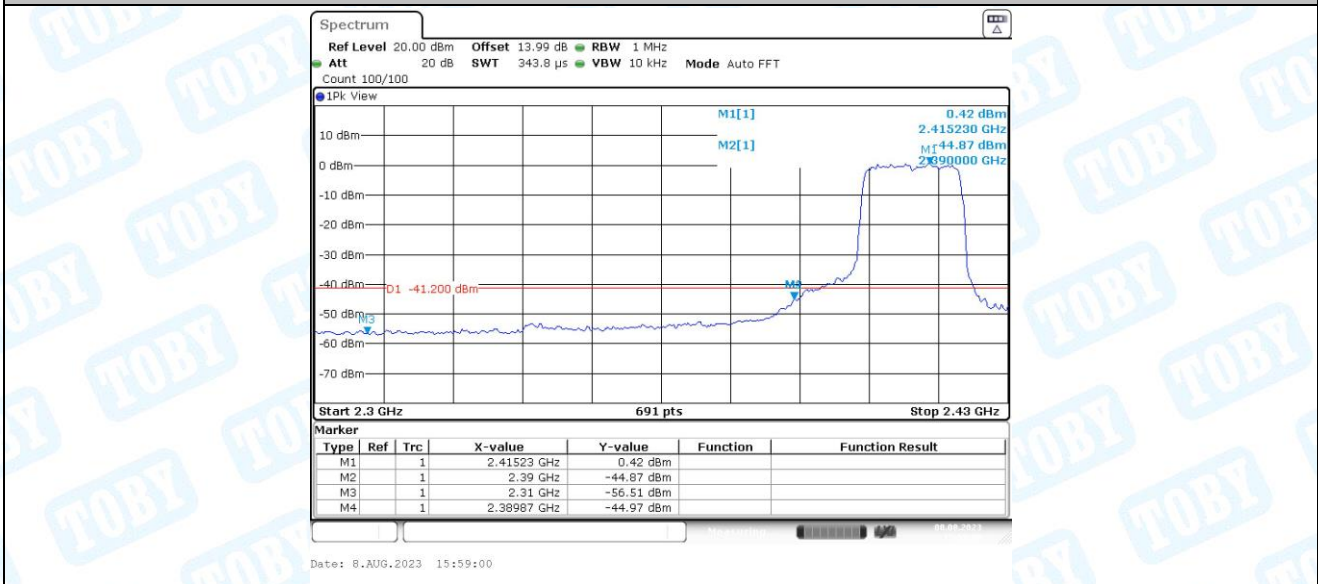
11G-CDD_Ant2_High_2462_AV



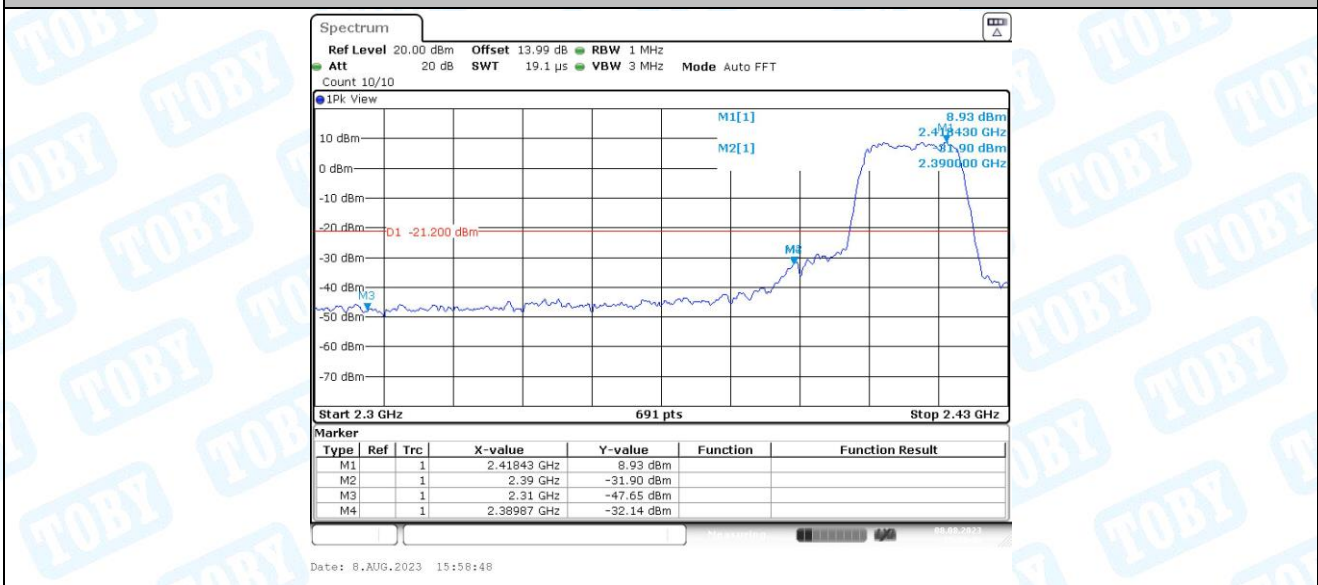
11G-CDD_Ant2_High_2462_Peak



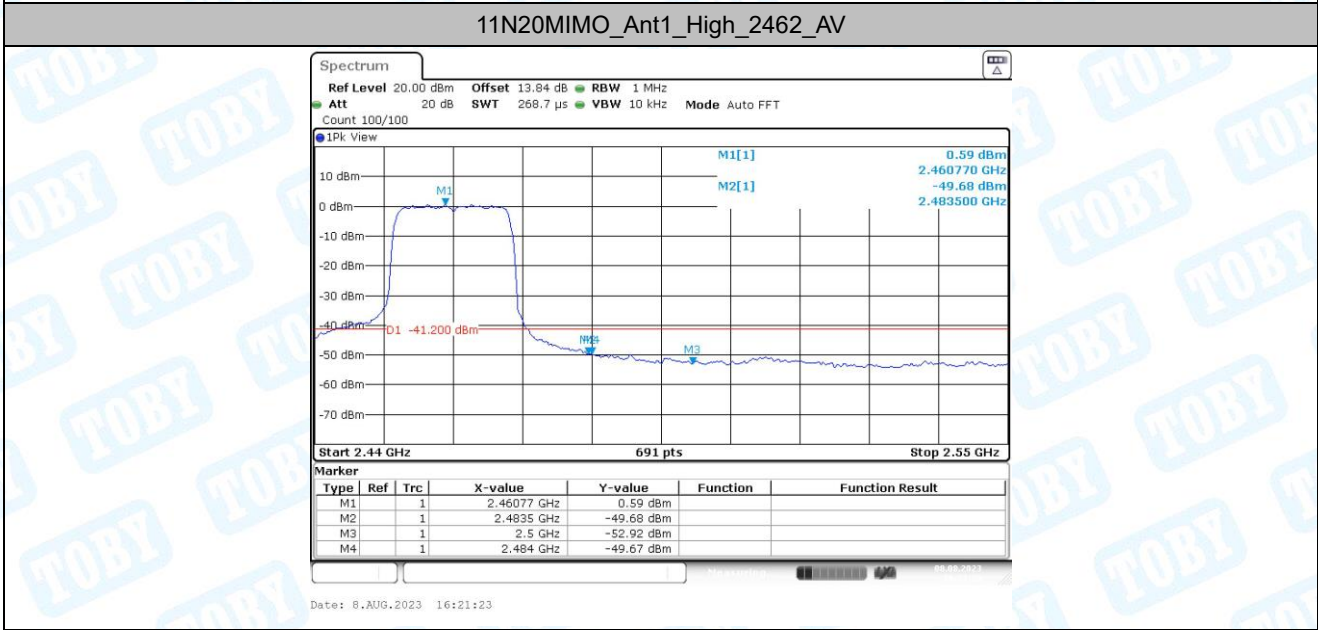
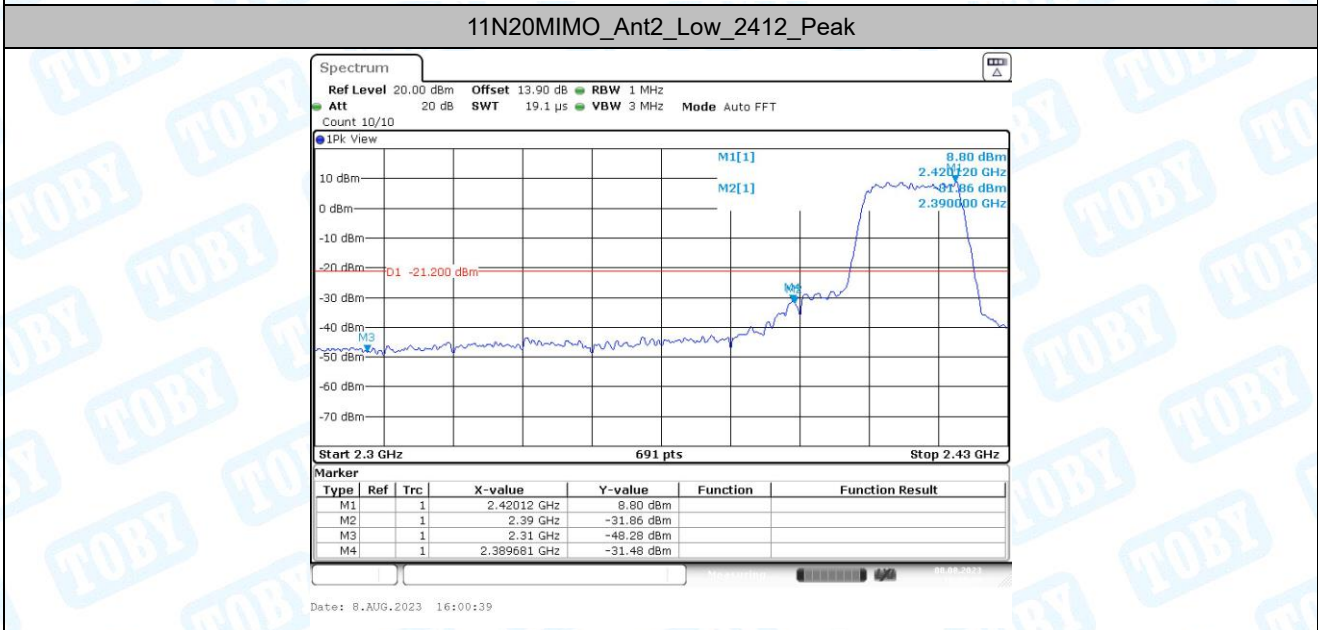
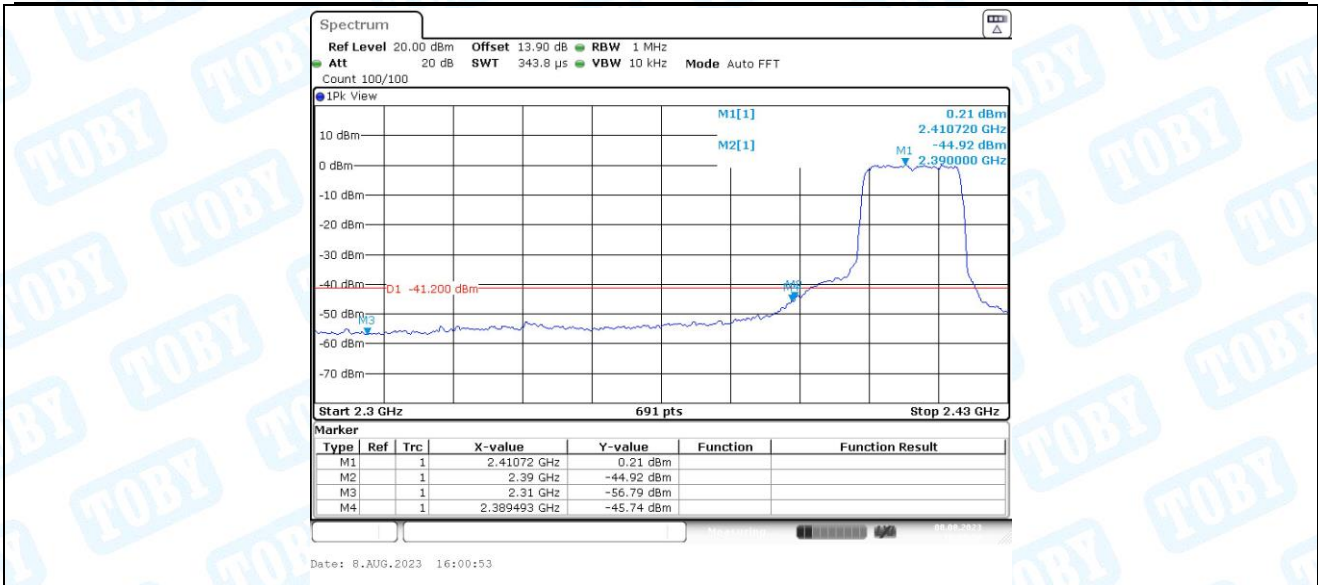
11N20MIMO_Ant1_Low_2412_AV



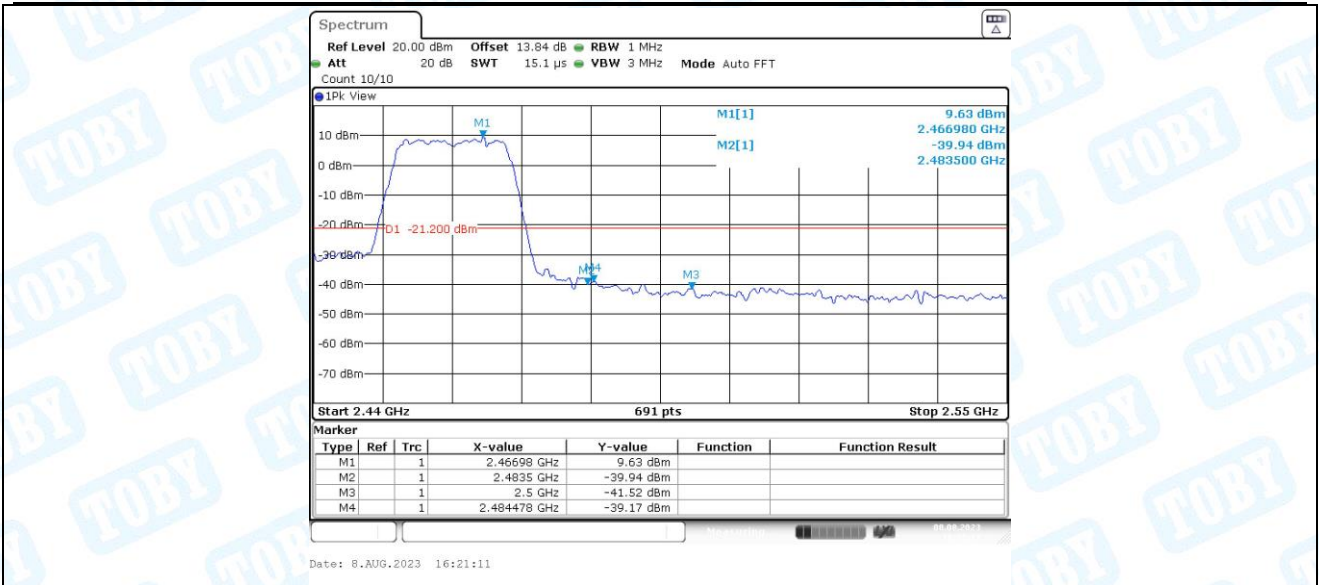
11N20MIMO_Ant1_Low_2412_Peak



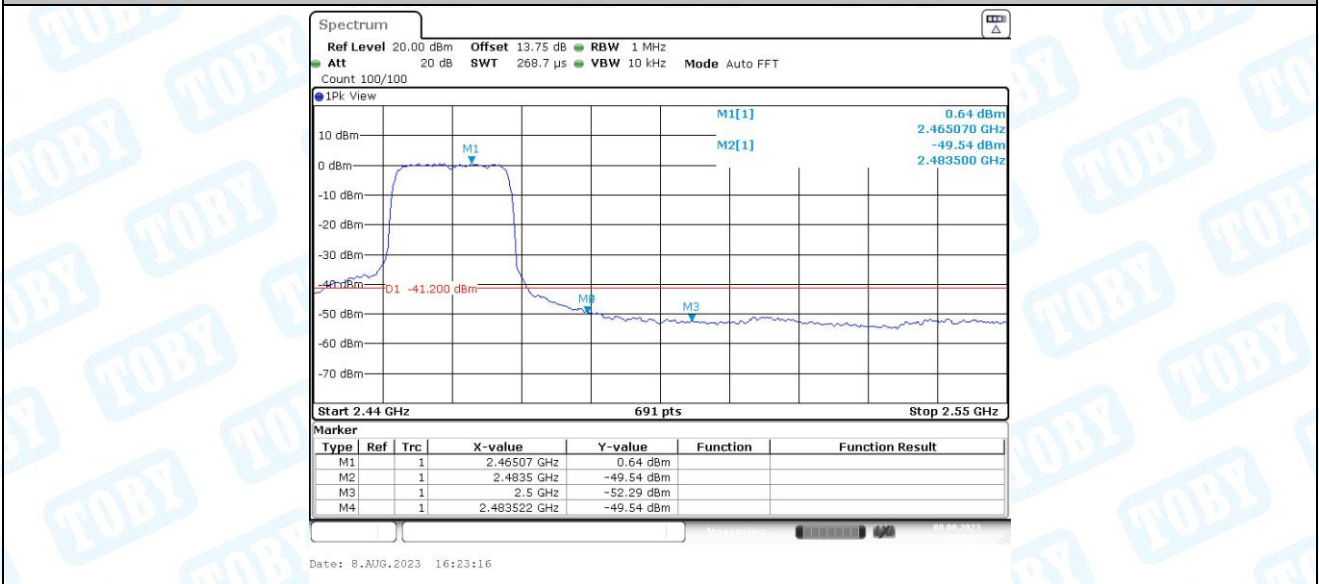
11N20MIMO_Ant2_Low_2412_AV



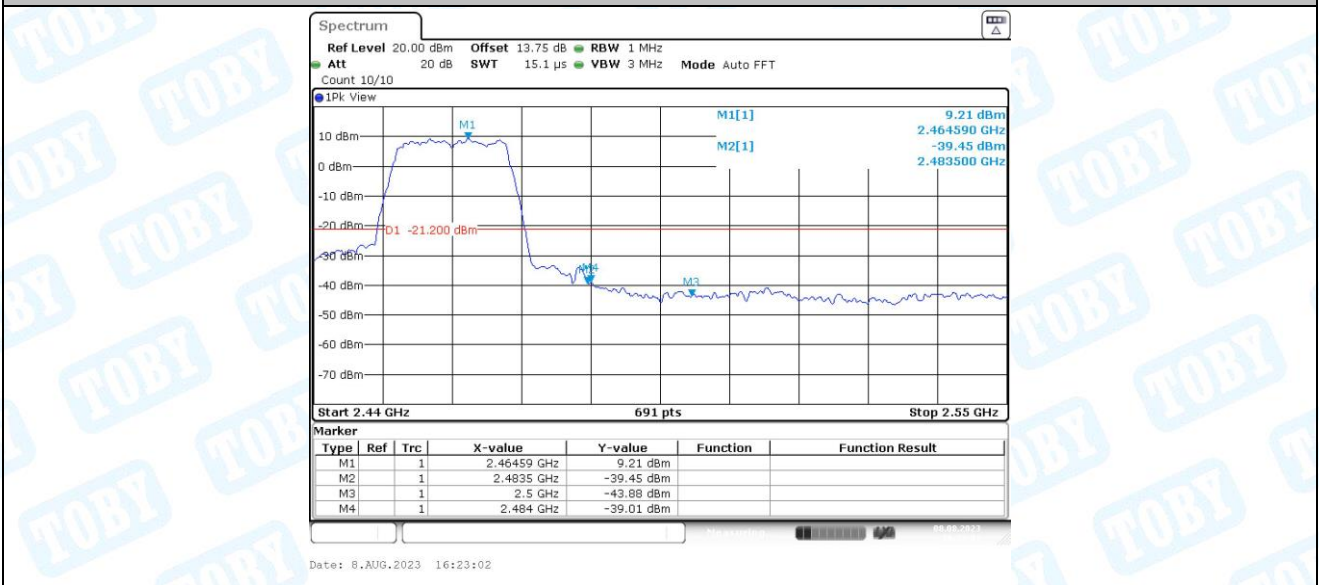
11N20MIMO_Ant1_High_2462_Peak



11N20MIMO_Ant2_High_2462_AV



11N20MIMO_Ant2_High_2462_Peak



-----End of the report-----